

Fig. 1

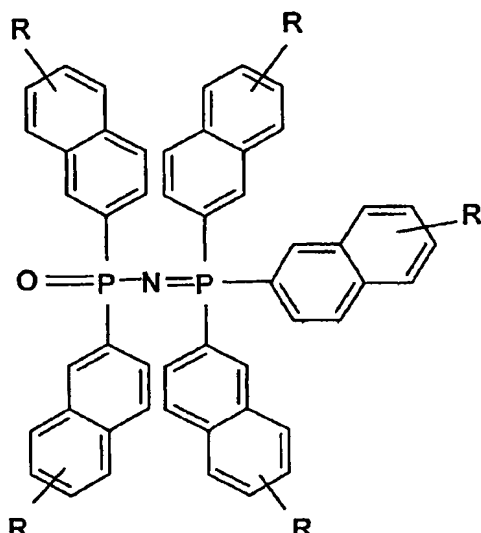


Fig. 2a

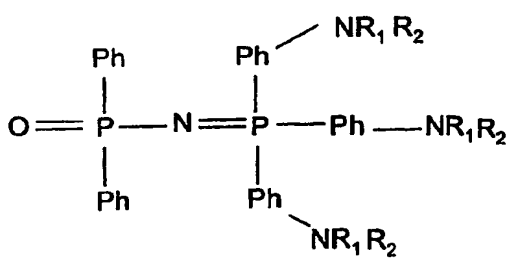


Fig. 2b

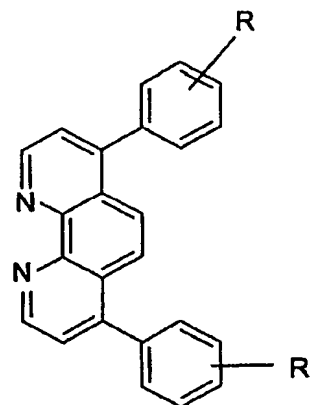


Fig. 3

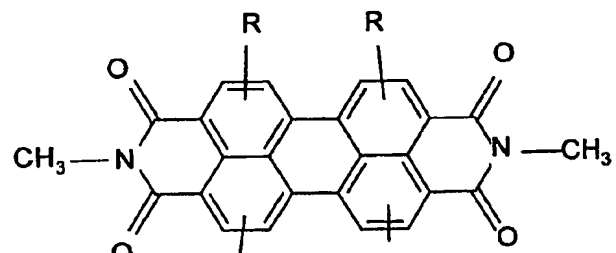


Fig. 4a

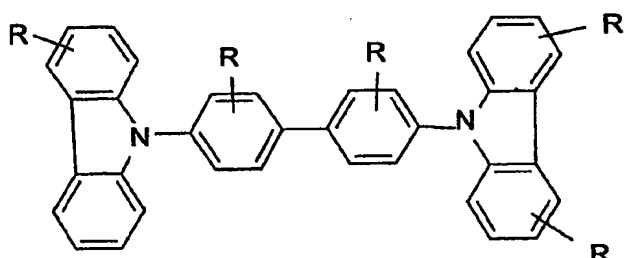


Fig. 4b

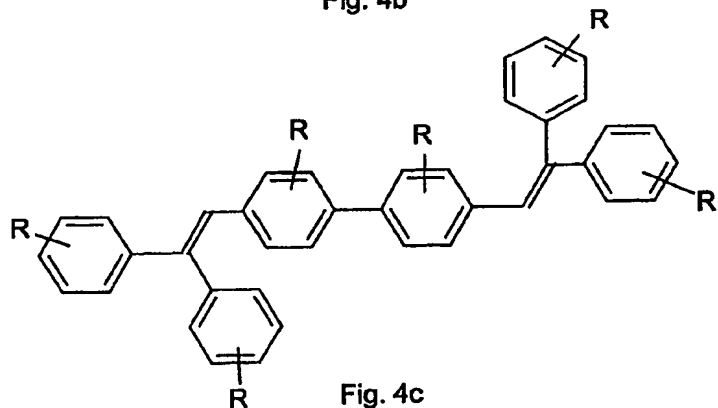


Fig. 4c

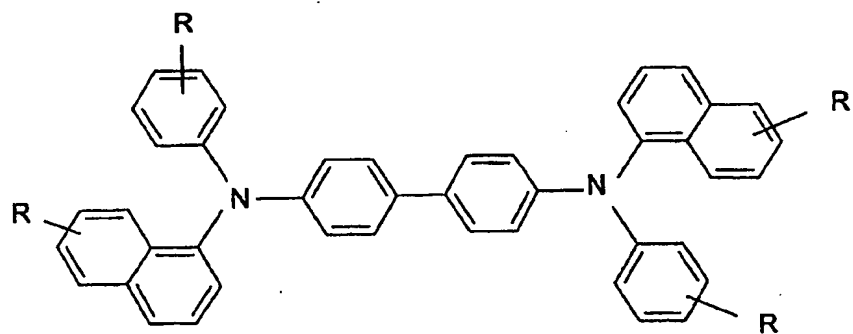


Fig. 4d

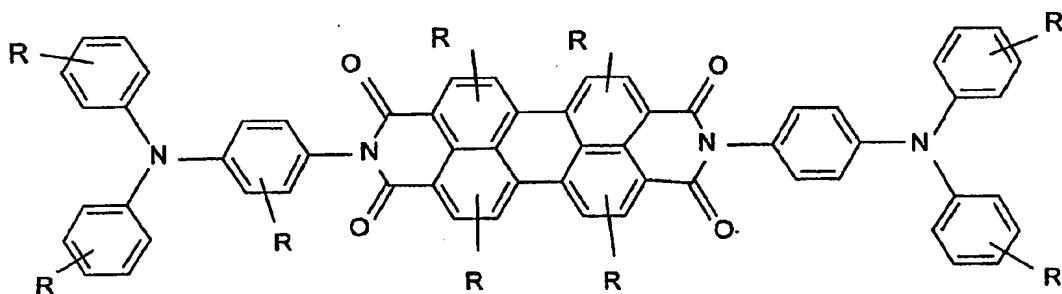


Fig. 4e

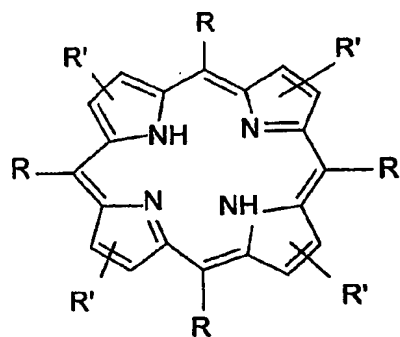


Fig. 4f

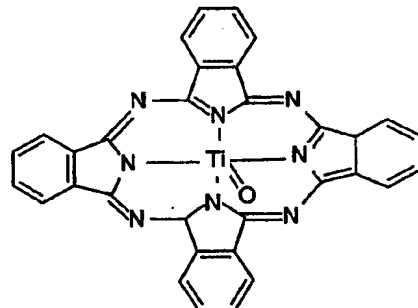


Fig. 4g

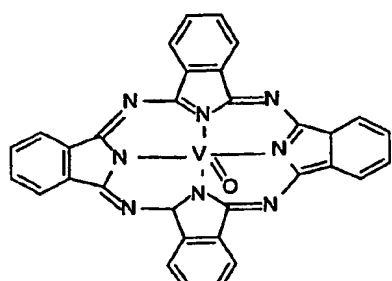


Fig. 4h

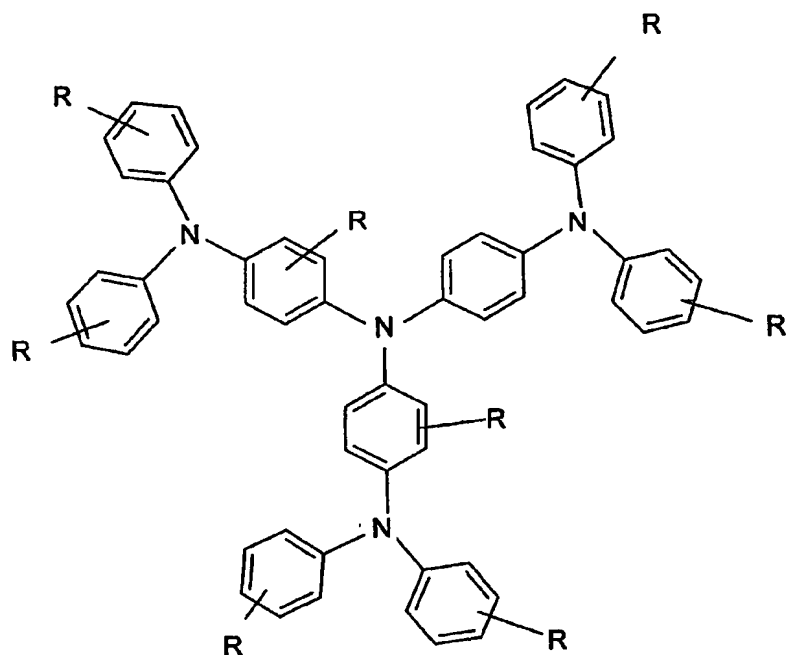


Fig. 4i

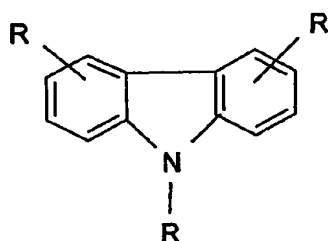


Fig. 4j

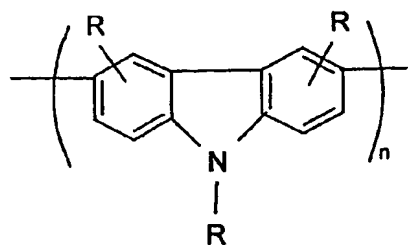


Fig. 4k

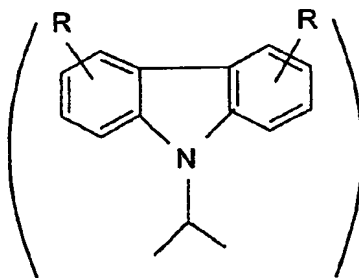


Fig. 4l

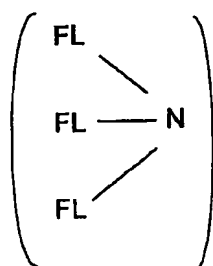


Fig. 5a

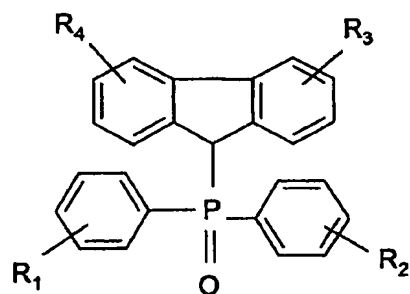


Fig. 5b

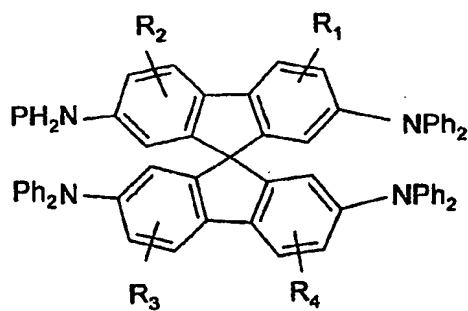
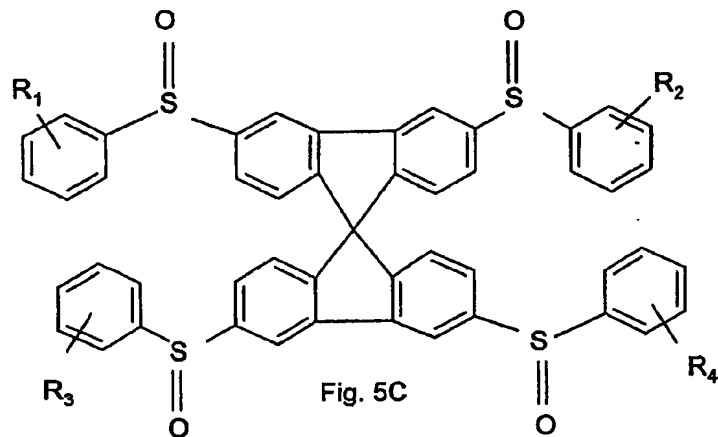


Fig. 5d

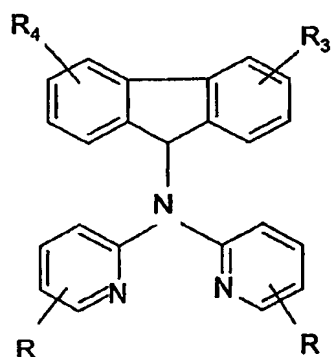


Fig. 5f

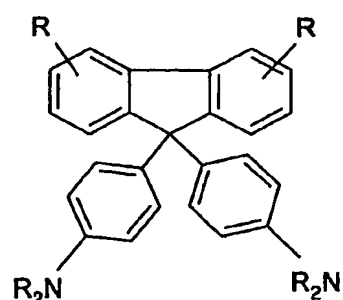


Fig. 5g

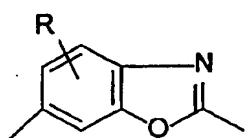


Fig. 6a

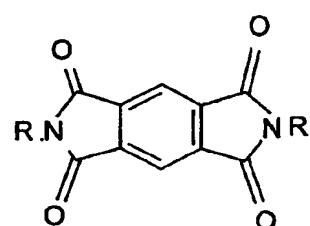


Fig 6b

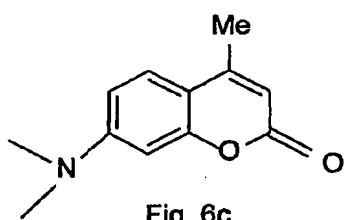


Fig. 6c

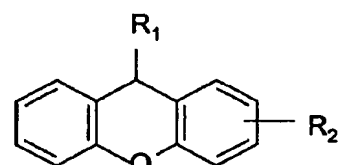


Fig. 6d

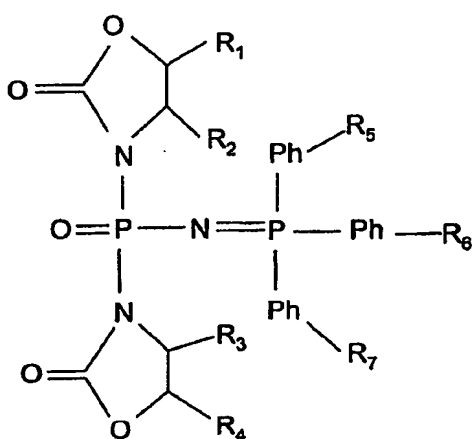


Fig. 6e

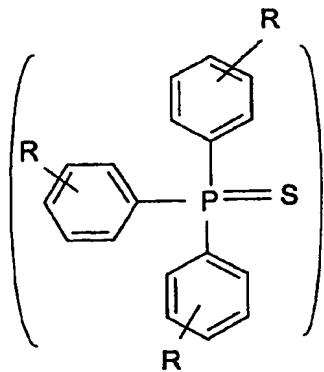


Fig. 7a

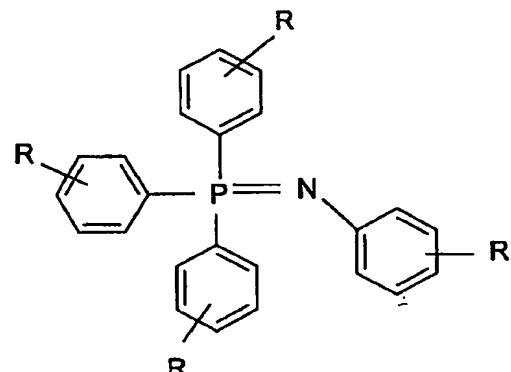


Fig. 7b

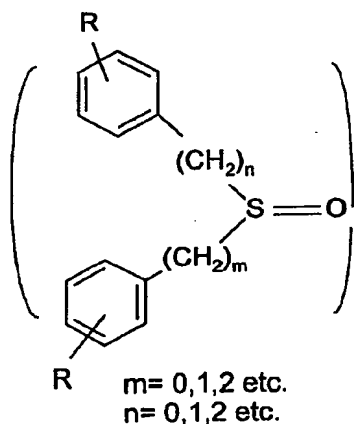


Fig. 7c

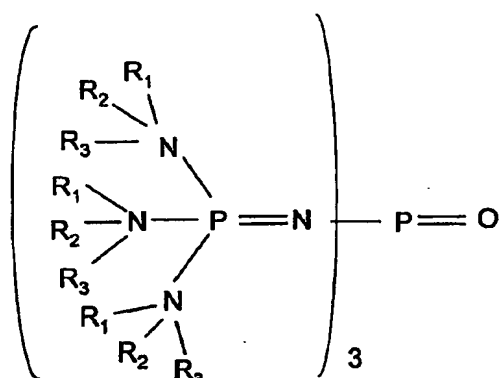


Fig. 7d

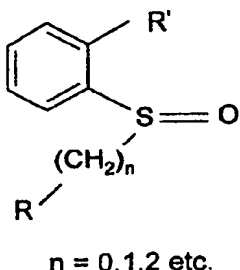


Fig. 7e

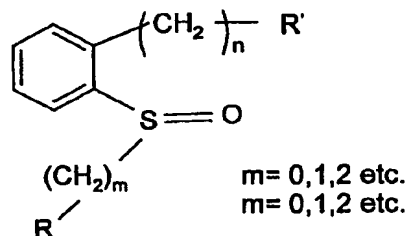


Fig. 7f

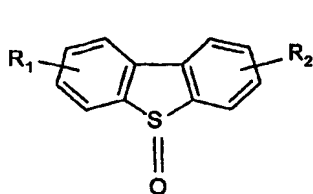


Fig. 8a

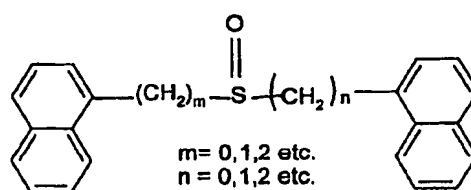


Fig. 8b

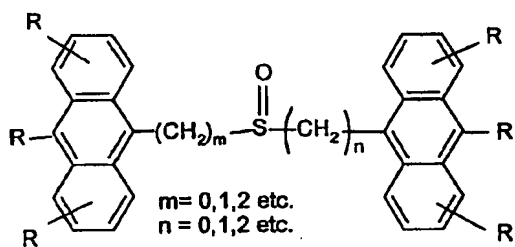


Fig. 8c

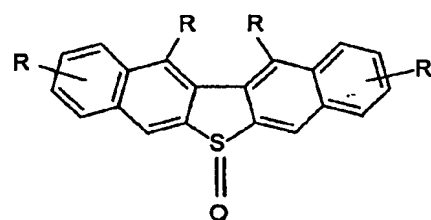


Fig. 8d

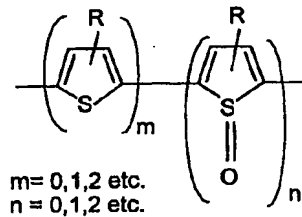


Fig. 8e

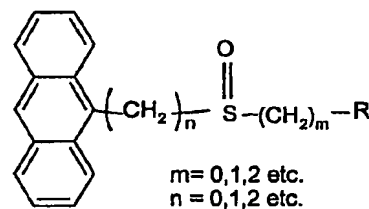


Fig. 8f

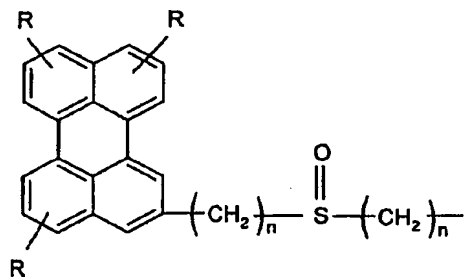


Fig. 8g

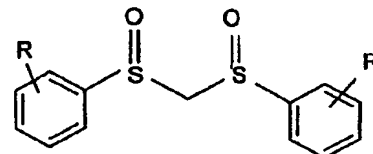
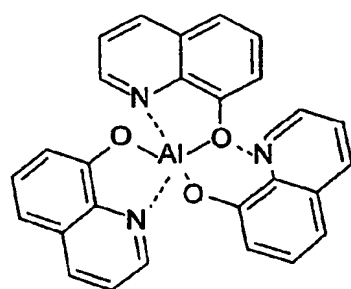
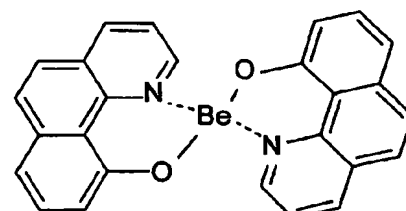


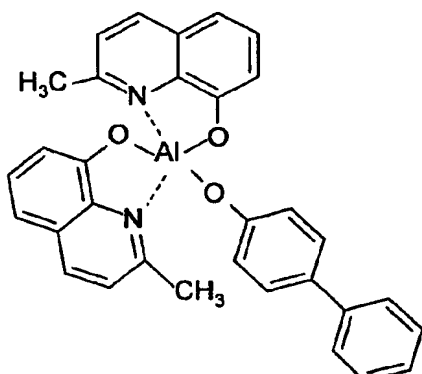
Fig. 8g



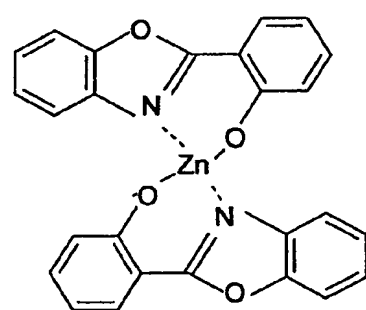
Alq



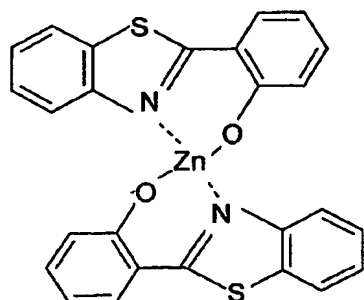
Bebq



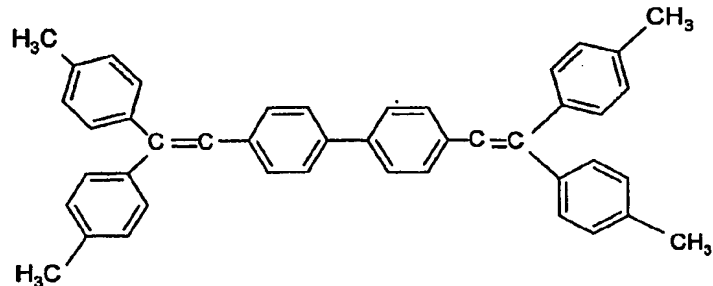
BA1q1



ZnPBO



ZnPBT



DTVb1

Fig. 9

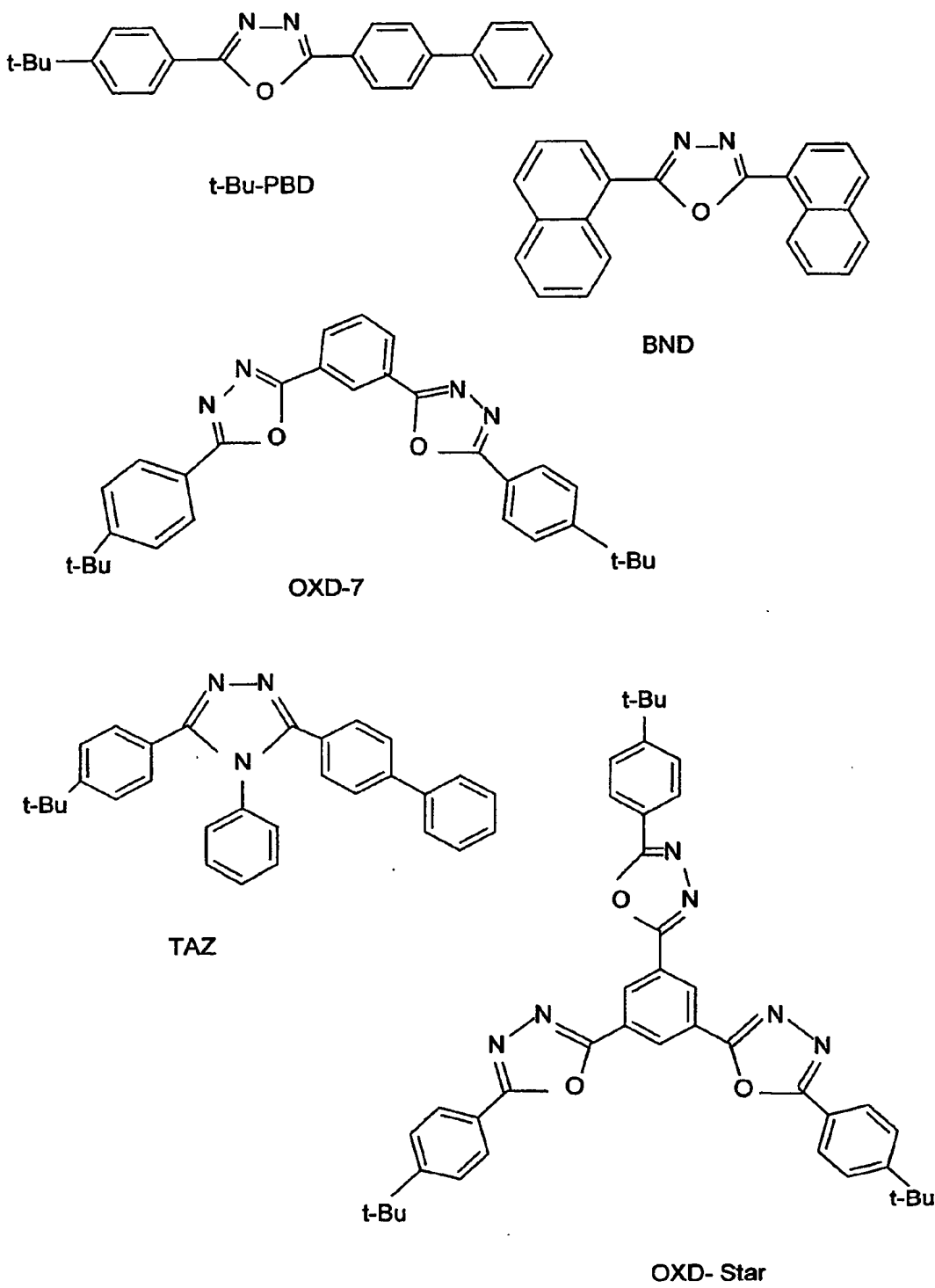
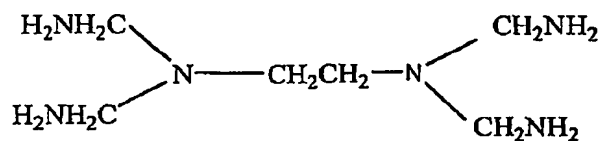


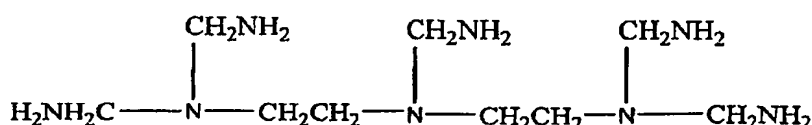
Fig. 10



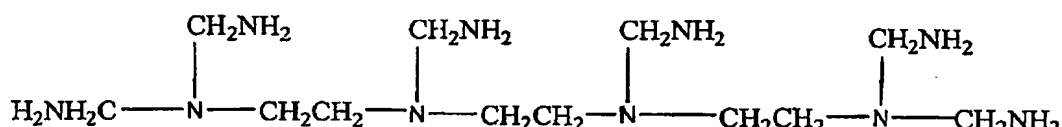
EDTA



DCTA



DTPA



TTHA

Fig. 11

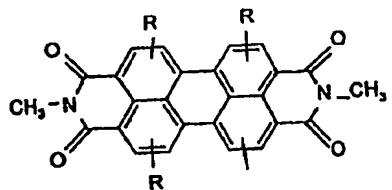


Fig. 12a

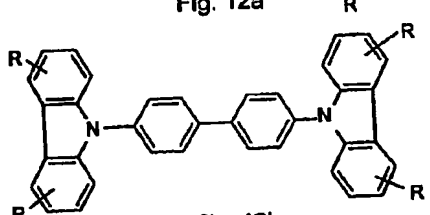


Fig. 12b

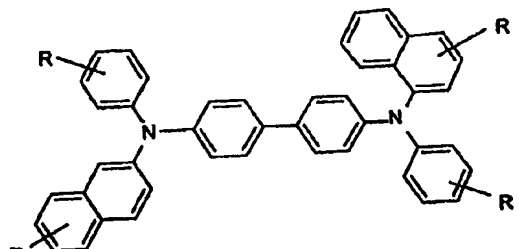


Fig. 12c

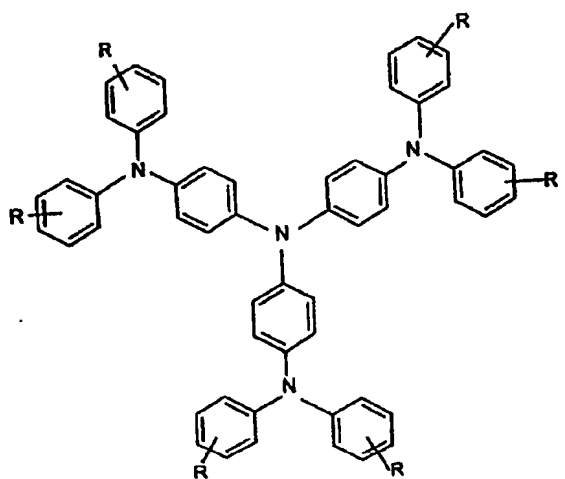


Fig. 12d

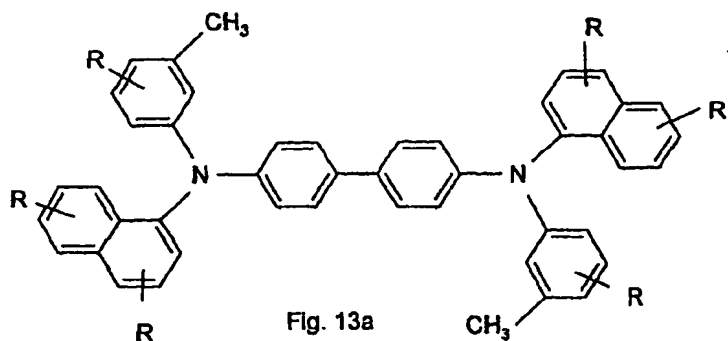


Fig. 13a

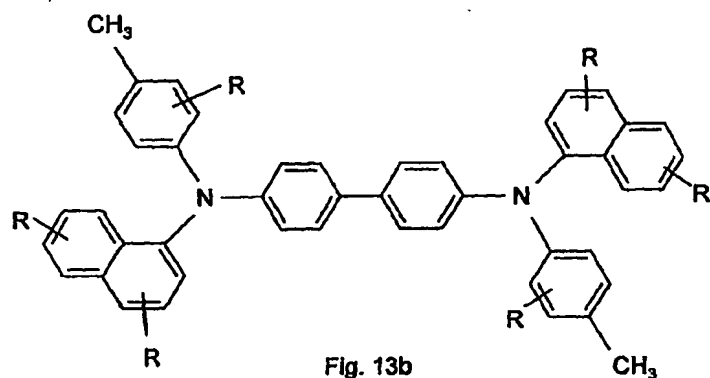


Fig. 13b

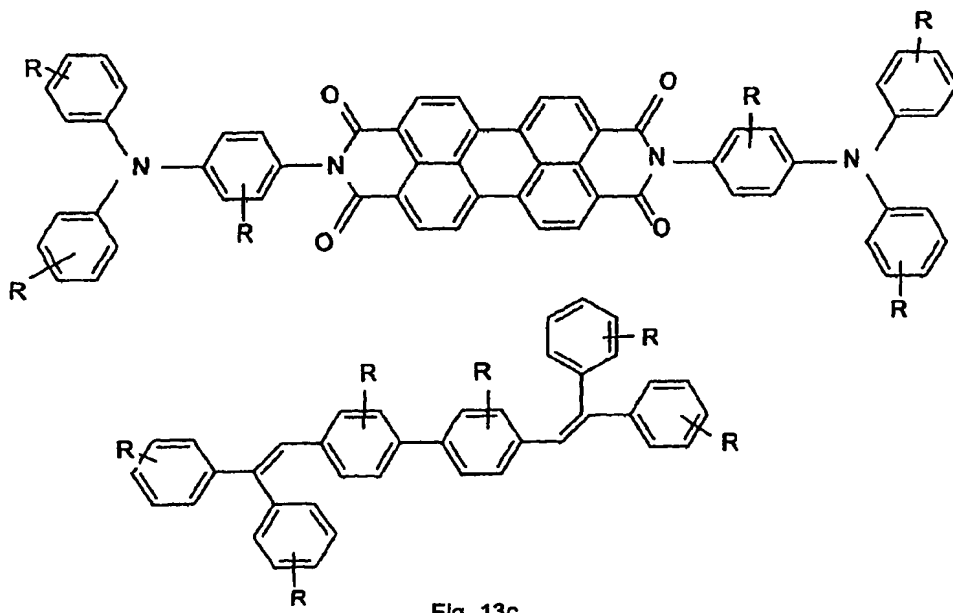


Fig. 13c

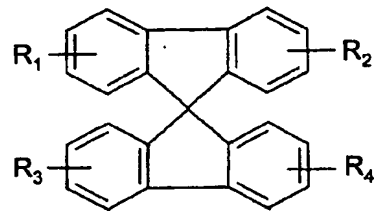


Fig. 14a

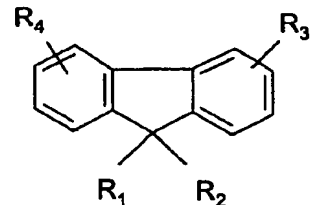
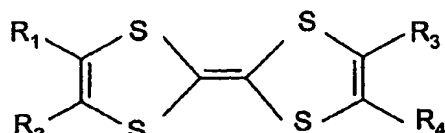


Fig. 14b



or

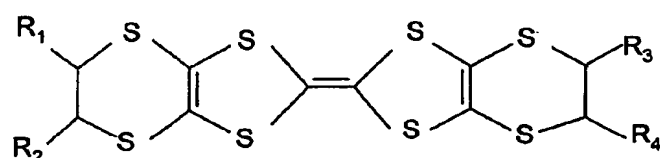


Fig. 14c

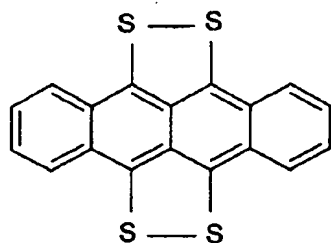
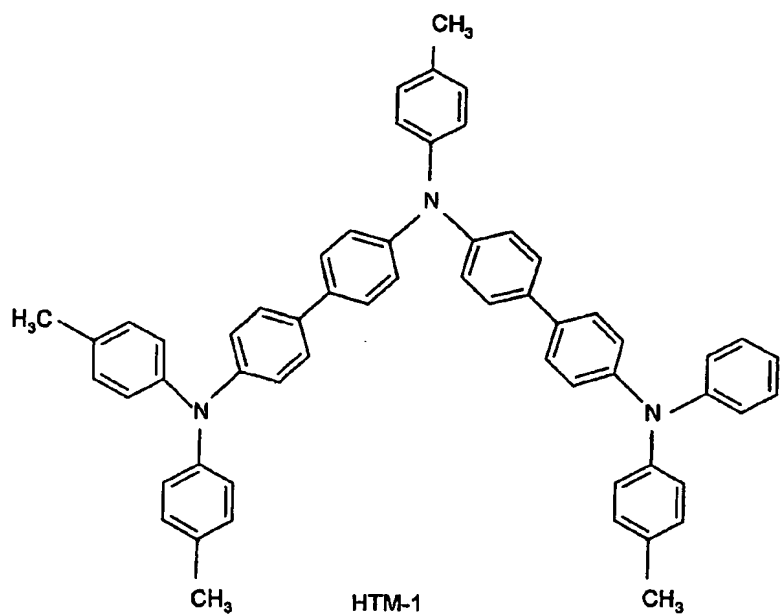
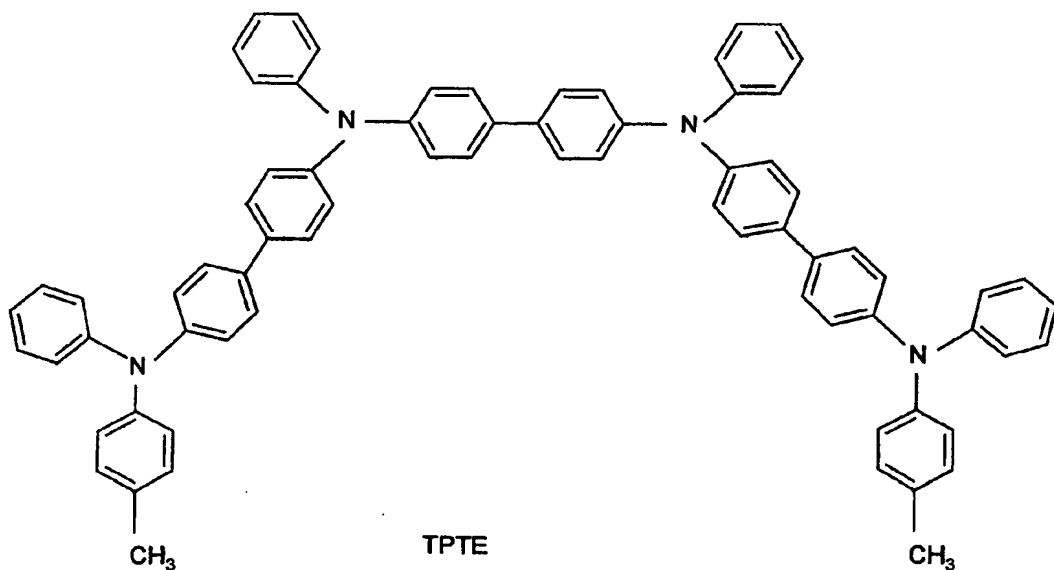


Fig. 14d



HTM-1

Fig. 15a



TPTE

Fig. 15b

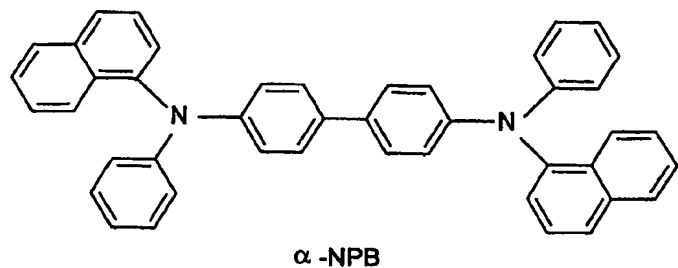


Fig. 16a

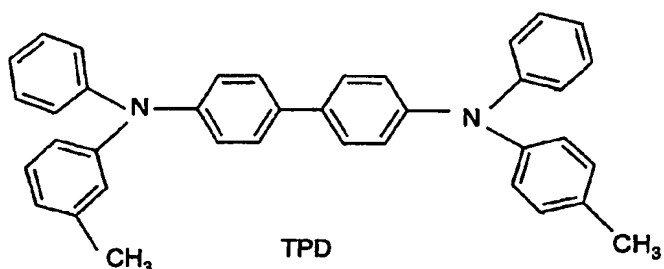
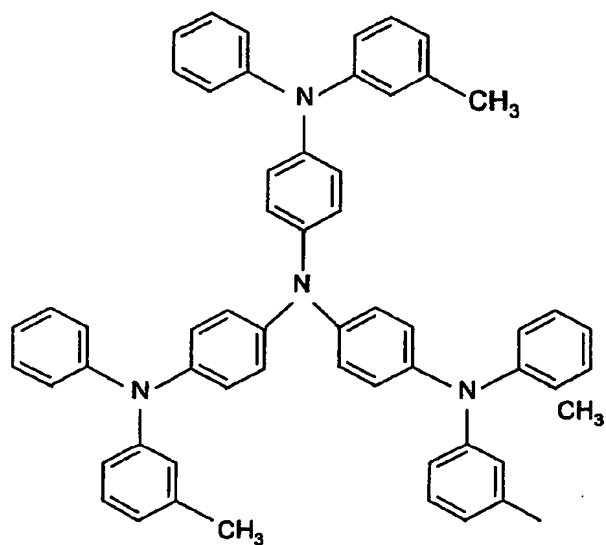


Fig. 16b



mTADATA

Fig. 16c

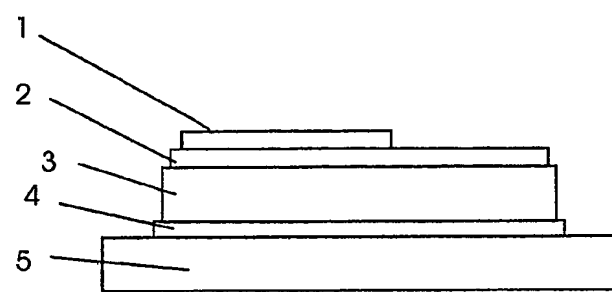


FIG. 17